



Саттаров Роберт Радилович,
доцент той же кафедры. Дипл.
физик-геофизик (БГУ, 1996).
Канд. техн. наук по элементам и
системам управления (УГАТУ,
1999). Иссл. в обл. электромеха-
нических преобразователей
энергии.

Трофимов Алексей Викторо-
вич, ст. преп. той же кафе-
дры. Дипл. инж.-электромех.
(УГАТУ, 2000). Иссл. в обл.
электромеханических преобра-
зователей энергии.

УДК 621.313.1.004.58

И. Х. ХАЙРУЛЛИН, Д. Ю. ПАШАЛИ

ДИАГНОСТИКА ЭЛЕКТРОМЕХАНИЧЕСКИХ ПРЕОБРАЗОВАТЕЛЕЙ ПО ВНЕШНЕМУ МАГНИТНОМУ ПОЛЮ

Рассматриваются вопросы диагностики электромеханических преобразователей по внешнему магнитному полю. Обсуждаются полученные результаты, в том числе диагностические признаки и особенности практического применения метода. Электромеханический преобразователь; диагностика; внешнее магнитное поле

Электрические машины используются в при-
водах практически во всех областях техники и тех-
нологического оснащения производства. Их вне-
плановая остановка или внезапный отказ сопро-
вождаются значительными экономическими пот-
ерями. Особенно велики потери на крупных
энергетических установках и объектах, поэтому
техническая диагностика в этой области достаточно
развита и является обязательной для предупре-
ждения отказов и своевременного ремонта. Значи-
тельно меньшее внимание уделяется диагностике
энергетических установок средней и малой мощ-
ности, однако их значимость, ввиду развития ав-
тономных приводов и массовости последних, по-
стоянно возрастает. Диагностика в основном [1, 2]
осуществляется тепловым, электрическим и ви-
броакустическим методами, которые в определен-
ных ситуациях, таких как низкие температуры,
виброакустические помехи и т. д., не примени-
мы или не обеспечивают необходимой достовер-
ности информации. Решение современных задач
диагностики требует привлечения принципиаль-
но новых методов и средств, к ним можно отнести
диагностирование по картине внешнего магнит-
ного поля (ВМП). При этом измерение диагно-
стических параметров производится бесконтакт-
ным методом и, что важно, в рабочем режиме. Исп-
ользование ВМП в качестве как основного, так и
дополнительного источника диагностической ин-
формации позволяет более достоверно оценить
техническое состояние и прогнозировать отказы
электрических машин. Несмотря на очевидные
достоинства, характеристики ВМП как диагно-
стического параметра мало изучены и практиче-
ски не используются при оценке технического со-
стояния электромеханических преобразователей
(ЭМП), поэтому развитие теории и технических
средств диагностики по внешнему магнитному по-

лю является актуальной научно-технической за-
дачей. Следовательно, необходима разработка ма-
тематических моделей, в частности, для наиболее
распространенных преобразователей — асинхрон-
ных двигателей и ЭМП с распределенной вторич-
ной системой, а также разработка диагностиче-
ских устройств для определения технического со-
стояния ЭМП по внешнему магнитному полю.

ВНЕШНЕЕ МАГНИТНОЕ ПОЛЕ ЭЛЕКТРОМЕХАНИЧЕСКИХ ПРЕОБРАЗОВАТЕЛЕЙ С РАСПРЕДЕЛЕННОЙ ВТОРИЧНОЙ СИСТЕМОЙ

В целях исследования и диагностики ЭМП с
распределенной вторичной системой с магнитной
несимметрией поперечного сечения активной ча-
сти можно представить в виде модели со смешен-
ными осями внутреннего и наружного магнито-
проводов. Для данного варианта разработана ма-
тематическая модель при следующих допущени-
ях: величина немагнитного зазора намного мень-
ше радиуса его кривизны; электромагнитное поле
в зазоре плоскопараллельное; первичное поле вне
индуктора отсутствует; магнитная проницаемость
немагнитного зазора равна проницаемости ваку-
ума; на наружной поверхности отсутствуют кон-
центраторы магнитного поля (выступы и пазы).

Система цилиндрических координат непо-
движна относительно врачающегося ротора. С
учётом принятых допущений из уравнений Мак-
свелла для медленно движущихся тел могут быть
получены три системы исходных уравнений в ви-
де, удобном для аналитического решения. По ме-
тоду двух реакций наведенное во вторичной си-
стеме магнитное поле раскладывается по попер-
ечной и продольной осям. Постоянные инте-
грирования определяются из граничных условий:

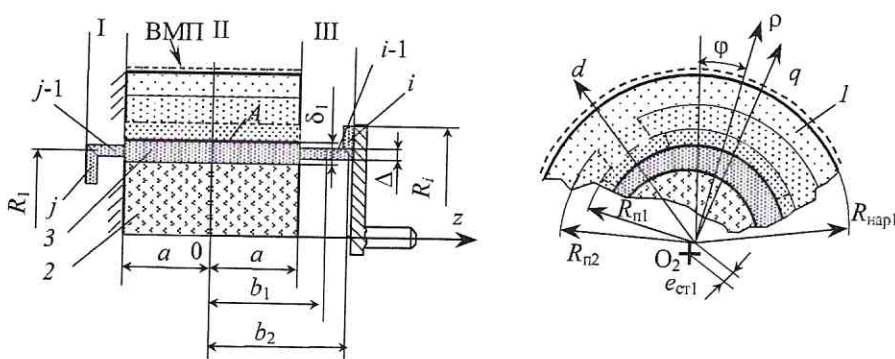


Рис. 1. Расчётная схема ЭМП с распределенной вторичной системой

равенства на границах зон нормальных составляющих плотности тока и тангенциальных составляющих напряженности электрического поля.

Выражение для комплексной амплитуды радиальной составляющей напряженности в зазоре (δ_1), учитывающее техническое состояние машины по равномерности зазора [3], имеет вид

$$\dot{H}_\rho = \sum_{\nu=1}^n \left[\left(1 + \frac{1}{\sqrt{k}} \right) (C_1 \operatorname{ch} \lambda_1 z + C_2 \operatorname{sh} \lambda_3 z) + \left(1 - \frac{1}{\sqrt{k}} \right) (C_2 \operatorname{ch} \lambda_2 + C_4 \operatorname{sh} \lambda_4) - A' \left(1 + j \frac{1}{\varepsilon k} \right) \right], \quad (1)$$

где $A' = \frac{B_{\delta_{\text{имп}}} \varepsilon^2}{1 + \varepsilon^2 k}$; $B_{\delta_{\text{имп}}} = B_{\delta_{\text{имп}}} \left[e^{jp\varphi} + \frac{e_{\text{ст1}} \vartheta_1}{2 u_1} \times (e^{j(p+1)\varphi} + e^{j(p-1)\varphi}) \right]$; $u_1 = \frac{1}{\sqrt{1 - e_{\text{ст1}}^2}}$; $\vartheta_1 = \frac{2 \frac{1 - \sqrt{1 - e_{\text{ст1}}^2}}{e_{\text{ст1}} \sqrt{1 - e_{\text{ст1}}^2}}}{k_d}$; $e_{\text{ст1}}$ — статический эксцентриситет; d_1 — расстояние смещения осей наружного и внутреннего магнитопроводов; $\lambda_1 \dots \lambda_4$ — корни характеристического уравнения; $B_{\delta_{\text{имп}}}$ — амплитуда индукции начального магнитного поля; $n = 1, 2, 3, \dots$; ε — магнитное число Рейнольдса; $k = \frac{k_d}{k_d}$; k_d , k_q — коэффициенты приведения по продольной и поперечной осям.

Комплексная амплитуда напряженности магнитного поля во внешнем магнитопроводе ЭМП с распределенной вторичной системой при известном (1)

$$\dot{H}_{\rho \text{ инд}} = \dot{H}_\rho \frac{R_1 (\mu'_1 + \mu'_2 + \dots + \mu'_k)}{\mu_r R}, \quad (2)$$

где $R_1 + \frac{\delta_1}{2} \leq R \leq R_{\text{нап1}}$; $R_{\text{П1}}, R_{\text{П2}}$ — размеры характерных участков магнитной цепи (рис. 1); μ'_1 — магнитная проницаемость участка ($R_{\text{нап1}} - R_{\text{П1}}$), отнесенная к μ_r ; μ'_2 — соответственно участка ($R_{\text{П2}} - R_{\text{П1}}$) и т. д.

С учётом известных положений по определению полей экранирующих устройств, картины поля на границе двух сред и выражений (1), (2)

математическая модель ВМП ЭМП с распределённой вторичной системой

$$\begin{aligned} & \dot{H}_{\rho \text{ ВМП } m} = \\ & = \sum_1^n \frac{6 \pi^2 \sqrt{r_1 \omega_h \omega_{bh}} \exp \left\{ \delta_1 \sqrt{\left[\frac{\pi(2n-1)}{2a} \right]^2 + \alpha_t^2} \right\}}{\left((r_1 \omega_h + \omega_{bh}) \operatorname{ch}(\omega_h - \omega_{bh}) + \right.} \\ & \quad \left. + \mu_r \chi_{bh} \left(1 - \frac{r_1 \omega_h}{\mu_r^2 \chi_{bh}^2} \right) \operatorname{sh}(\omega_h - \omega_{bh}) \right)} \times \\ & \quad \times \dot{H}_{\rho \text{ инд } m} \left(\frac{2R_{\text{нап1}} + r_{bh1}}{2} + \frac{1}{\alpha_t \sqrt{\varepsilon \frac{k_d}{2}}} \right), \quad (3) \end{aligned}$$

где $r_1 = \frac{\chi_{bh}}{\chi_h}$; $\alpha_t = \frac{\pi}{\tau}$; $\tau = \frac{\pi R_1}{p}$; $R_{\text{нап1}}, R_{\text{П1}}, R_{\text{П2}}, \Delta, R_1, \delta_1, a$ — геометрические размеры (рис. 1); $h_{\text{П}} = R_{\text{нап1}} - (R_1 + \frac{\delta_1}{2})$; $r_{bh1} \geq R_{\text{нап1}}$; k_d — коэффициент приведения по продольной оси;

$$\omega_h = j \sqrt{jp_{\nu_m} \mu_r \varepsilon + (R_1 + h_{\text{П}})^2 \left(\frac{\pi(2n-1)^2}{4a^2} + \alpha_t^2 \right)}$$

$$\chi_{bh} = \left(R_1 + \frac{\delta_1}{2} \right) \sqrt{\frac{\pi(2n-1)}{2a} + \alpha_t^2};$$

$$\chi_h = (R_1 + h_{\text{П}}) \sqrt{\left(\frac{\pi(2n-1)}{2a} \right) + \alpha_t^2};$$

$$\omega_{bh} = j \sqrt{jp_{\nu_m} \mu_r \varepsilon + \left(R_1 + \frac{\delta_1}{2} \right)^2 \left(\frac{\pi(2n-1)^2}{4a^2} + \alpha_t^2 \right)}$$

p_{ν_m} — число пар полюсов произвольной гармоники МДС внутреннего магнитопровода; μ_r — относительная магнитная проницаемость материала индуктора.

ВНЕШНЕЕ МАГНИТНОЕ ПОЛЕ АСИНХРОННЫХ ДВИГАТЕЛЕЙ

Разработана математическая модель для диагностики по внешнему магнитному полю асинхронных двигателей с магнитной несимметрией

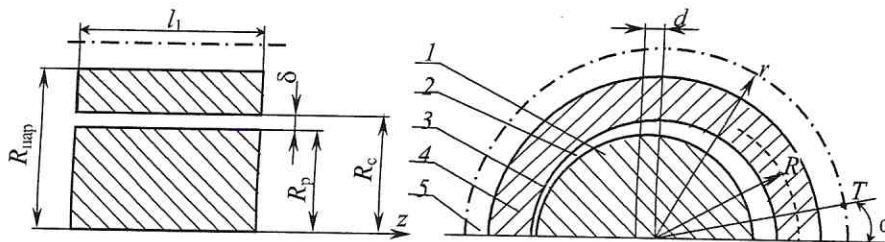


Рис. 2. Расчетная схема асинхронного двигателя: 1 — ротор; 2 — воздушный зазор; 3 — токовый слой; 4 — статор; 5 — ВМП асинхронного двигателя; Т — произвольная точка пространства, где определяется ВМП

поперечного сечения активной части на базе физической модели двигателя со статическим эксцентризитетом ротора, при следующих допущениях: активная длина машины принята бесконечно большой; на сердечниках статора и ротора отсутствуют изгибы; обмотка управления представлена в виде бесконечно тонкого токового слоя, покрывающего расточку статора, создающего основную гармонику намагничивающей силы, изменяющуюся по синусоидальному закону вдоль расточки; индуктор имеет гладкую (отсутствуют концентраторы магнитного поля) наружную цилиндрическую круговую поверхность. Расчетная схема приведена на рис. 2.

ВМП асинхронного двигателя может быть представлено в виде [3]

$$\dot{H}_{\text{BMP}} = \dot{H}_{\text{инд}} \frac{\sqrt{\psi_n \psi_b} \exp(2n_m \pi(\xi_n - \xi_b))}{\left(r_{\text{вн}}(\psi_n + \psi_b) \operatorname{ch}(\xi_n - \xi_b) + (1 + \psi_n \psi_b) \operatorname{sh}(\xi_n - \xi_b) \right)} \times \left(\frac{2R_{\text{нап}} + r_{\text{вн}}}{2} + \frac{\sqrt{2}}{\sqrt{\omega \gamma_c \mu_r}} \right), \quad (4)$$

$$\dot{H}_{\text{BMP}} = \sum_{\nu=1}^n \dot{H}_{\text{BMP}\nu}, \quad (5)$$

где $r_{\text{вн}} \geq R_{\text{нап}}$; $n_m = 4$; $R_{\text{нап}}$ — наружный радиус магнитопровода статора; $\psi_n = \frac{\xi_n}{\xi_n \mu_r}$; $\psi_b = \frac{\xi_b}{\xi_b \mu_r}$; $\lambda_r = \frac{\pi(2n-1)}{l_1}$; $\xi_n = j\sqrt{j\omega p_{\nu} \mu \gamma_c R_{\text{нап}}^2 + p_{\nu}^2}$; $n = 1, 2, 3, \dots$; $\xi_n = \sqrt{(\lambda_r R_{\text{нап}})^2 + p_{\nu}^2}$; $\xi_b = j\sqrt{j\omega p_{\nu} \mu \gamma_c R_{\text{нап}}^2 + \xi_b^2}$; $\xi_b = \sqrt{(\lambda_r R_b)^2 - p_{\nu}^2}$; p_{ν} — число пар полюсов произвольной гармоники МДС статора; для основной гармоники $p_{\nu} = p$; γ_c — удельная электрическая проводимость материала статора.

$$H_{\delta 1} = A_m h_i, \quad h_i = \frac{r' u_k}{\left(\frac{1}{l_1 \sqrt{l_1}} \left(\sqrt{\int_0^{l_1} f_{ic} g_{ic} dz} - \sqrt{\int_0^{l_1} f_{ip} g_{ip} dz} \right) - \rho'_c \cos(\alpha/2) \right)} \times \times \left\{ \cos(p\alpha - \omega t) + \frac{e_{ct} \vartheta}{2u_k} [\cos((p+1)\alpha - (\omega + \omega_{ct})t) + \right.$$

$$+ \cos((p-1)\alpha - (\omega - \omega_{ct})t)] \right\}, \quad (6)$$

где A_m — амплитуда линейной токовой нагрузки; l_1 — активная длина машины; $r' = \frac{R_c}{l_1}$ — относительный радиус статора; $\rho'_c = \frac{\rho_c}{l_1}$ — относительное среднее значение овальности статора; R_c —名义альный радиус внутренней расточки статора; R_p —名义альный радиус ротора; p — число пар полюсов машины; α — координата в системе, неподвижной относительно статора; ω — угловая частота сети $\omega = 2\pi f$; f — частота сети; e_{ct} — относительный статический эксцентризитет $e_{ct} = d/\delta$; d — расстояние смещения осей ротора и статора; $\delta = R_c - R_p$ —名义альный воздушный зазор; ω_{ct} — частота токов (гармоники), вызванная эксцентризитетом, скорректированная по скольжению $\omega_{ct} = (1-s)\frac{\omega}{p}$, при заторможенном роторе $\omega_{ct} = 0$; s — скольжение прямовращающейся волны первой гармоники магнитной индукции относительно ротора; $u_k = \frac{1}{\sqrt{1-e_{ct}^2}}$; $\vartheta = 2 \frac{1-\sqrt{1-e_{ct}^2}}{e_{ct}^2 \sqrt{1-e_{ct}^2}}$.

ЭКСПЕРИМЕНТАЛЬНОЕ ИССЛЕДОВАНИЕ ВНЕШНЕГО МАГНИТНОГО ПОЛЯ ЭЛЕКТРОМЕХАНИЧЕСКИХ ПРЕОБРАЗОВАТЕЛЕЙ

На основе результатов, полученных в работе, для проверки возможности использования внешнего магнитного поля как диагностического сигнала разработано оборудование, предназначенное для экспериментальных исследований и диагностики асинхронных двигателей и ЭМП с распределенной вторичной системой, и оценены его метрологические характеристики. При разработке были использованы оригинальные технические решения, подтвержденные двумя патентами [4, 5]. В состав измерительно-вычислительного моделирующего диагностического комплекса — экспериментальные установки для исследования асинхронных двигателей и ЭМП с распределенной вторичной системой — выполняли следующие функции: подключение исследуемого объекта, управление им, измерение основных механических или электромеханических характеристик,

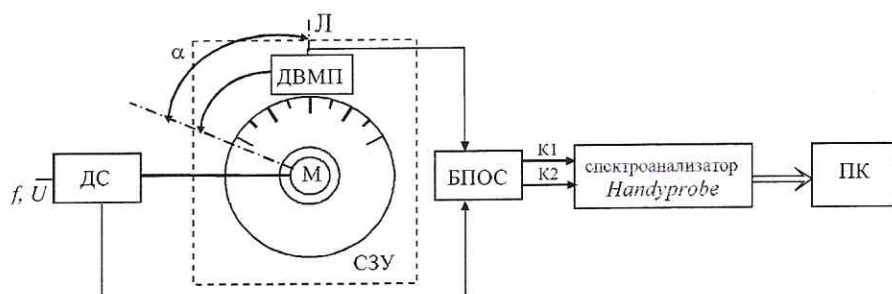


Рис. 3. Структурная схема экспериментальной установки для исследования внешнего магнитного поля ЭМП: М — исследуемая машина; ДВМП — датчик индукционный внешнего магнитного поля; СЗУ — система задания углового положения ДВМП; ДС — датчик сети; БПОС — блок предварительной обработки сигнала (усилитель сигнала ДВМП и режекторный фильтр); ПК — персональный компьютер

создание нагрузки (задание определенного режима работы), моделирование исходных состояний, измерение внешнего магнитного поля в окружающем объект пространстве в заданных координатах, математическая обработка данных измерений, спектральный анализ, запись результатов и выдача его на экран персонального компьютера. Структурная схема экспериментальной установки для исследования асинхронных двигателей приведена на рис. 3.

Исследуемый объект диагностировался в заданных режимах работы. Сигналы датчиков ДС и ДВМП усиливалось и фильтровались БПОС и передавались на аналого-цифровую измерительную приставку к ПК — Handyprobe. Получаемые таблицы данных спектроанализатора (формат частота — падение напряжение канала 1 — падение напряжения канала 2) вводились для последующей обработки в пакет электронных таблиц Microsoft Excel. Определялось математическое ожидание значения напряжения для каждой частоты в спектре напряжения при одном и том же положении ДВМП и затем, после отбрасывания промахов, по значению напряжения проводился расчет напряженности внешнего магнитного поля с использованием пакета Microsoft Excel. Погрешность измерения не превышала 5 %. Число повторных опытов — 16. Данные спектроанализатора записывались в файл на жесткий диск компьютера

тера в следующем формате: число выборок сигнала 512, диапазон частот 250 Гц. Амплитудное значение ЭДС ДВМП автоматически корректировалось в зависимости от изменения данных датчика сети (ДС), что позволило при анализе осциллограмм исключить из рассмотрения сетевые помехи. Гармонический состав ВМП определялся по опытной кривой его распределения. Исследования проводились для асинхронных двигателей с различным числом пар полюсов в режимах холостого хода, под нагрузкой и короткого замыкания, и для ЭМП с распределенной вторичной системой в режиме нагрузки и при неподвижном роторе. Анализ распределения поля в основном проводился по данным замеров при расположении ДВМП на расстоянии 0,2 мм от поверхности ЭМП. Эксцентриситет моделировался в пределах от нуля до 0,3δ.

На рис. 4 приведены кривые ВМП ЭМП с распределенной вторичной системой, полученные в ходе теоретических и экспериментальных исследований.

ЗАКЛЮЧЕНИЕ

Выводы. Для целей диагностики исследовано ВМП ЭМП с распределенной вторичной системой и асинхронных двигателей разработаны математические модели как функции параметров,

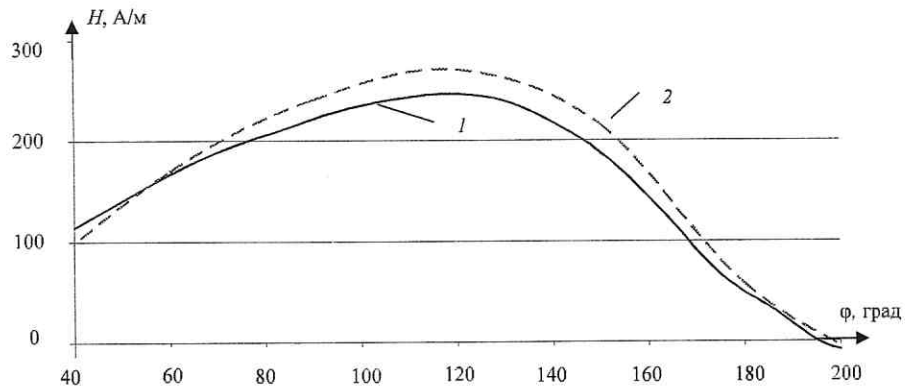


Рис. 4. Распределение напряженности внешнего поля над поверхностью ЭМП ($r_{\text{вн}}/R_{\text{нап}} = 0,005$) на краю индуктора; $e_{\text{ст}} = 0,3$; 1 — расчётные данные; 2 — экспериментальные данные

сопоставление которых определяет диагностические признаки состояния, учитывающие влияние геометрических соотношений активных элементов конструкции, технологических и эксплуатационных факторов на техническое состояние машин.

Разработаны измерительно-вычислительные моделирующие диагностические комплексы, на которых проведены экспериментальные исследования спектральных характеристик внешнего магнитного поля электромеханических преобразователей, с имитацией технологических и эксплуатационных дефектов. Эксперимент подтверждает справедливость принятых допущений и достоверность основных теоретических положений и выводов, полученных в работе. Расхождение расчетных и опытных данных составляет 10–14%.

При неисправном техническом состоянии ротора ЭМП с распределенной вторичной системой в виде нарушения электрической проводимости или недопустимого режима вращения напряженность внешнего магнитного поля изменяется в пределах 10–60%, что позволяет выявлять подобные дефекты вторичной системы.

В электрической машине с распределенной вторичной системой при изменении величины относительного эксцентриситета зазора от 0,1 до 0,3 и числа Рейнольдса от 0,5 до 3 изменение реальной части комплексной амплитуды внешнего магнитного поля составляет от 10 до 25%, причем меньшее изменение соответствует большему числу полюсов.

При несоосности статора и ротора асинхронного двигателя амплитуда основной гармоники напряженности внешнего магнитного поля в зависимости от числа пар полюсов возрастает на 15–20%.

Задачи развития метода. Дальнейшим направлением работы в области использования ВМП является решение следующих задач:

- Разработка методики диагностирования, которая включает определение возможно большего числа диагностических признаков. ВМП, являясь косвенным признаком, может быть выявлено и измерено в ходе технологического процесса или эксплуатации.

- Развитие метрологического обеспечения сбора данных, т.е. совершенствование измерительно-вычислительных моделирующих диагностических комплексов. От решения данной задачи зависит достоверность получаемой диагностической информации, надежность и стоимость диагностической системы.

- Формирование диагностических критериев, т.е. определение численных значений параметров ВМП и других признаков, образующих комплексы, отражающие корреляционную связь с наличием того или иного дефекта, либо со степенью его развития. Во многих случаях различные дефекты, неполадки и отклонения в работе ЭМП имеют сходные признаки. Поэтому возникает вопрос о дифференциальной диагностике, т.е. разработ-

ке способов достоверного разделения причин изменения параметров.

- На основе выбранных критериев формирование алгоритма диагностики с привлечением соответствующего математического и логического аппарата, сочетающегося с выбранной методикой диагностирования и характеристиками диагностируемого объекта.

- Создание экспертных систем, которые являются наивысшей формой алгоритма диагностики. При разработке таких систем необходимо приоритетно повышать уровень методик работы и квалификации персонала, позволяющих синтезировать и анализировать чаще всего противоречивую информацию, оценивать вероятность появления той или иной неисправности, принимать адекватное решение и делать выводы о правильности действий.

СПИСОК ЛИТЕРАТУРЫ

1. Потапов, В. И. Диагностирование авиационных электрических машин / В. И. Потапов. М. : Транспорт, 1989. 101 с.
2. Гафуров, Р. А. Испытания и диагностика двигателей летательных аппаратов. Оптические, электрические и радиометрические измерения в диагностических системах : учебное пособие / Р. А. Гафуров, З. Г. Левченко. Казань, 1981. 90 с.
3. Пашали, Д. Ю. Диагностика электромеханических преобразователей по внешнему магнитному полю. Дис ... канд. техн. наук / Д. Ю. Пашали. Уфа, 2004.
4. Пат. РФ № 2178139. Измеритель линейных перемещений. МКИ G 01 B 7/14 / М. А. Ураксеев, Д. Ю. Пашали. Опубл. 10.01.02. БИ № 1.
5. Пат. РФ № 2189562. Датчик перемещений (варианты). МКИ G 01 B 7/14 / М. А. Ураксеев, Д. Ю. Пашали. Опубл. 20.09.2002. БИ № 26.

ОБ АВТОРАХ



Хайруллин Ирек Ханифович, проф. каф. электромеханики. Дипл. инж.-электромех. (Ивановск. энергетич. ин-т, 1963). Д-р техн. наук по элементам и устройствам управл. (УАИ, 1981). Тр. по электромеханич. преобразователям энергии.



Пашали Диана Юрьевна, ст. преп. той же кафедры. Дипл. инж. по приборостроению (УГАТУ, 1994). Канд. техн. наук по электромех. и электрич. аппаратам (УГАТУ, 2004). Иссл. в обл. надежности электромех. систем.